

بهینه سازی ایرفویل E387 به کار رفته در پره توربین بادی محور افقی به منظور افزایش نسبت ضریب برآ به پسا

حسین سیفی^{۱*}، محسن سیفی داوری^۲

۱- کارشناسی ارشد، مهندسی مکانیک، دانشگاه دریانوردی و علوم دریایی چابهار، چابهار

۲- کارشناس، مهندسی عمران، دانشگاه پیام نور مرکز اردبیل، اردبیل

hseifidavary@gmail.com، ۹۹۷۱۷۵۶۴۹۹

* چابهار، ۹۹۷۱۷۵۶۴۹۹

چکیده

از راههای افزایش توان تولیدی توربین بادی، استفاده از ایرفویل‌های با نسبت ضریب برآ به پسا بالا در پرههای توربین بادی می‌باشد. در ایرفویل‌ها مقدار ضریب برآ و پسا علاوه بر وابستگی به زاویه حمله و سرعت جریان باد عبوری از طرف ایرفویل به هندسه و شکل ایرفویل نیز مستقل نیز است. در این تحقیق پس از معرفی مفاهیم مهم در توربین‌های بادی، ایرفویل E387 انتخاب و با تعییر و یهود هندسه ایرفویل مورد نظر، ایرفویل جدیدی طراحی شد. در ایرفویل طراحی شده، نسبت ضریب برآ به پسا به مقدار ۱۴/۲۱ درصد در مقایسه با مقدار همین نسبت در ایرفویل اولیه افزایش پیدا کرده است و بیشترین مقدار نسبت ضریب برآ به ضریب پسا برای ایرفویل اولیه در زاویه ۲/۵ درجه برابر ۱۲۴ و برای ایرفویل جدید طراحی شده این مقدار در زاویه ۴ درجه برابر با ۱۴۲ بوده و در انجام محاسبات و طراحی صورت گرفته در این تحقیق از نرم افزار Q-Blade که با استفاده از مدل‌های مومنت و الگوریتم صحیح، شبیه سازی را انجام و پارامترهای نیاز طراحی را با مدل CMDMS تغییر می‌دهد که برای این کار از یک مدل مومنت دو مرحله‌ای برای شبیه سازی آبرو دینامیک توربین بادی استفاده می‌کند، استفاده شده است.

کلیدواژگان: توان، ایرفویل E387، توربین بادی، نسبت ضریب برآ به ضریب پسا، Q-Blade

Optimization of E387 Airfoil Used in Wind Turbine Blades for Maximizing its Lift to Drag Coefficients Ratio

Hossein Seifi^{1*}, Mohsen Seify Davari²

1- Department Marine of Engineering, Chabahar Maritime University, Chabahar, Iran

2- Civil Engineering, University of Payam Nur, Ardabil, Iran

* P.O.B. 9971756499 Chabahar, Iran, hseifidavary@gmail.com

Received: 11 May 2019 Accepted: 8 September 2019

Abstract

One way to increase wind turbine production capacity is to use airfoils with a high coefficient of friction coefficient in wind turbine blades. In airfoils, the coefficient of up and down depends on the geometry and shape of the airfoil as well as the dependence on the angle of attack and the velocity of wind flow passing through the airfoil. In this study, after introducing important concepts in wind turbines, the E387 airfoil was selected and a new airfoil was designed by modifying and improving the desired airfoil geometry. In the designed airfoil, the ratio of the coefficient of the coefficient to the coefficient of increase was 14.21% compared to the value of the coefficient of initial coefficient, and the highest coefficient of coefficient of coefficient of coefficient for the initial coefficient was 124 and 2.5 °. Designed for the new Airfoil, this value is 142 degrees at 4 °, and in the computation and design of the Q-Blade software, which performs simulations using the momentum and correct algorithm models. Modifies the design parameters with the CMDMS model, which uses a two-stage momentum model for aerodynamic simulation of the torque. Inflatable uses, used.

Keywords: power, E387 airfoil, cl/cd, Q-Blade, Wind turbine.

۱۳۹۹
تیری
های
تجدیدپذیر و
نیز
سیاره اول
هم
سال
تاسیس
دانشگاه
چابهار

به منظور محاسبه توان توربین، انرژی قابل استحصال در واحد زمان از باد، مطابق فرمول زیر می‌توان استفاده کرد [۱۳].

$$p = \frac{1}{\rho} \rho A V^3 \quad (1)$$

که در آن ρ چگالی هوا محیط، V سرعت باد در هنگام برخورد با توربین باد و A مساحت جلو شده توسط توربین در هنگام چرخش می‌باشد که جهت افزایش توان توربین باد می‌توان قطر توربین را افزایش داد. باد با عبور از اطراف تیغه‌های توربین باد، دو ناحیه کم فشار و پرفشار در اطراف تیغه ایجاد می‌کند. هوا در قسمت پرفشار با اعمال نیرو به تیغه، تیغه را به سمت ناحیه کم فشار هوا حرکت می‌دهد. نیرویی که به تیغه وارد می‌گردد و باعث حرکت تیغه در جهت عمود بر جریان باد می‌شود، با نام نیروی برآ یا لیفت شناخته می‌شود. نیروی برآ در ایرفویل به طول L به صورت زیر محاسبه می‌گردد [۱۳].

$$F_L = C_L \frac{1}{\rho} \rho A V^3 L \quad (2)$$

که در آن C_L ضریب برآ نام دارد.

به دلیل وجود گردایان فشار در عقب و جلو تیغه و همچنین به دلیل به وجود آمدن در نزدیکی سطح دیواره تیغه، نیروی دیگری با نام نیروی درگ به وجود می‌آید که موازی و در جهت مخالف جریان هوا می‌باشد. این نیرو به صورت زیر محاسبه می‌گردد [۱۳].

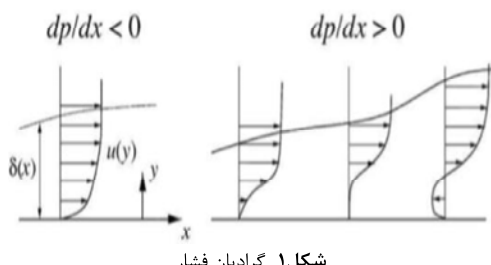
$$F_D = C_D \frac{1}{\rho} \rho A V^3 L \quad (3)$$

که در آن C_D ضریب پسا نام دارد.

در فرمول ۲ و ۳، ضریب برآ و ضریب پسا از مشخصه‌های ایرفویل هستند و با هندسه ایرفویل در ارتباط می‌باشند. به طور کلی ایرفویل‌ها به گونه‌ای طراحی می‌گردد که در آن‌ها نسبت ضریب برآ به ضریب پسا، به حدکثر مقدار ممکن افزایش یابد.

۲-۲- جدایش جریان در ایرفویل

در نزدیکی سطح ایرفویل به دلیل وجود شرط عدم لغزش، بین هوا و سطح ایرفویل ایجاد می‌شود. گردایان فشار در داخل لایه مرزی بر روی ایرفویل از اهمیت بالایی برخوردار است. در صورتی که گردایان فشار در طول ایرفویل از ابتدا تا انتهای ایرفویل منفی باشد، جدایش جریان ایجاد نخواهد شد. اما چنانچه گردایان فشار در طول ایرفویل منفی نباشد، تغییر جهت سرعت هوا در نزدیکی دیواره ایرفویل رخ دهد، نیروی برآ به شدت کاهش یافته و ایرفویل دچار استال خواهد شد [۱۳].



شکل ۱. گردایان فشار

۲-۳-۲- ضریب نیروی برآ

ضریب نیروی برآ تعیین کننده مقدار نیروی برآ می‌باشد که به یک ایرفویل وارد می‌گردد. علاوه بر هندسه ایرفویل، زاویه حمله و عدد رینولدز جریان بر مقدار ضریب برآ، تاثیرگذار می‌باشد. به طور کلی جریان‌های آشفته بر روی

۱- مقدمه

با گسترش روزافزون جوامع انسانی و توسعه صنعتی در جوامع مختلف، نیاز به منابع انرژی در حال افزایش است. فراهم کردن انرژی ارزان قیمت، مناسب و کافی برای کاهش فقر، بهبود رفاه بشر و بالا بردن استانداردهای زندگی در سراسر جهان امری ضروری است [۱]. انرژی بادی در حال حاضر سریع ترین میزان نرخ رشد را در بین دیگر منابع تجدید پذیر دارد و بستگی به نیاز و امکانات از چند وات تا چند مگاوات برق تولید و در مقایسه با انرژی سوخت‌های فسیلی میزان کمتری گاز گلخانه‌ای منتشر می‌کند. میزان انرژی قابل استحصال از منابع بادی زمین بسیار بیشتر از کل مصرفی جهان است، بهطوری که یک براورد کلی نشان می‌دهد که ۷۲ تراوات انرژی باد بر روی زمین وجود دارد در حالی که میزان مصرف انرژی جهانی ۱۵ تراوات می‌باشد [۳].

دستگاهی که برای به دست آوردن انرژی از باد مورد استفاده قرار می‌گیرد، توربین بادی وسیله‌ای است که انرژی جنبشی جریان باد را به انرژی دورانی محور روتور تبدیل می‌کند [۴].

فوگلسانگ و تامسن، بنیانی و توفالو و همچنین هو و رائو در مورد بهینه سازی ویژگی توربین‌های بادی نظری و تربی، تعداد پره‌ها و سرعت روتور تحقیق نموده‌اند [۵، ۶].

سان، لی، گائو، هوانگ و گراسو تحقیقاتی را بر روی ایرفویل با استفاده از برنامه‌های آنالیز ایرفویل‌ها و نظری المان مومنتوم انجام داده‌اند [۸، ۹، ۱۰].

ریبریو و همکاران در مقاله خود بهینه‌سازی ایرفویل را به کمک الگوریتم رنگی و شبکه‌های عصبی مصنوعی انجام دادند [۱۱].

جووارشکیان و همکاران در در تحقیق خود به بهینه‌سازی مدل پره توربین باد با شبکه‌های عصبی و رنگی پرداختند که در برابر استال ویژگی‌های بهتری نسبت به مقطع پره اولیه داشت [۱۲].

یکی از روش‌های بهینه‌سازی توربین بادی محور افقی، بهینه سازی پره توربین بادی محور افقی می‌باشد که با افزایش نسبت ضریب برآ به پسا می‌توان عملکرد تیغه روتور را بهینه سازی و در نهایت توان تولیدی توربین بادی را افزایش داد.

در این مقاله ابتدا مفاهیم مرتبط با توربین بادی معرفی و سپس با بررسی ایرفویل E387 در ساخت پره توربین بادی محور افقی، هندسه جدیدی از ایرفویل ذکر شده ارائه می‌شود که عملکرد بهتری نسبت به ایرفویل اولیه دارد و تئامی محاسبات انجام شده در رابطه با ایرفویل‌ها با نرم افزار Q-Blade صورت گرفته و جهت بررسی صحت داده‌های بدست آمده از نرم افزار مورد استفاده، یک نمونه ایرفویل که مشخصات آزمایشگاهی آن در دسترس بوده است، در نرم افزار ذکر شده شبیه سازی و نتایج بدست آمده توسط نرم افزار با نتایج آزمایشگاهی مقایسه شد.

۲- معرفی مفاهیم مرتبط با توربین بادی محور افقی

۲-۱- توربین باد و تولید توان

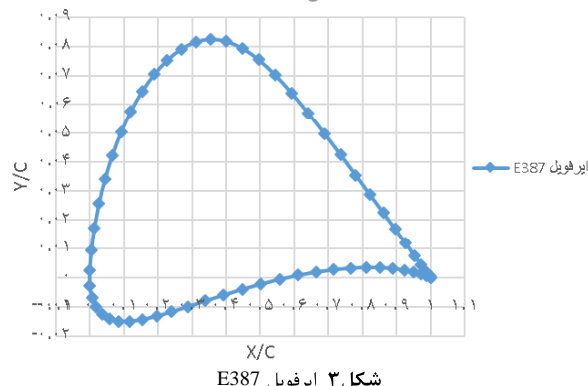
توربین بادی وسیله‌ای است که از آن جهت بهره برداری از انرژی باد استفاده می‌گردد. جریان باد با عبور از میان پره‌های توربین بادی محور افقی بخشی از انرژی جنبشی خود را به انرژی روتور توربین تبدیل می‌کند و این انرژی تولید شده چرخش زناتور و تولید برق یا به طور مستقیم جهت تامین نیروی لازم به منظور پمپاژ آب مورد استفاده قرار می‌گیرد.

تفکیک می شود. مدل قسمت محلی جریان هوا از نقشه برداری منسجم برای توصیف ایرفویل همانند یک دایره استفاده می کند. با این روش سریعتر شدن محاسبات با استفاده از تبدیل فوریه امکان پذیر می شود. برای برخی بروفویل های متقاضی NACA بخاطر اعداد رینولدز کم خلا داده تجربی در ناحیه انتقال محدود دارد.

برای مقایسه حداقل کیفیت مقاطع ایرفویل متفاوت و طرح های توربین، بهتر است از یک ابزار منحصر به فرد استفاده شود که این ابزار باید به زمان پردازش کوتاهی داشته باشد به همین دلیل در نرم افزار Q-blade از ابزار X-Foil Direct Analysis انتخاب شد.

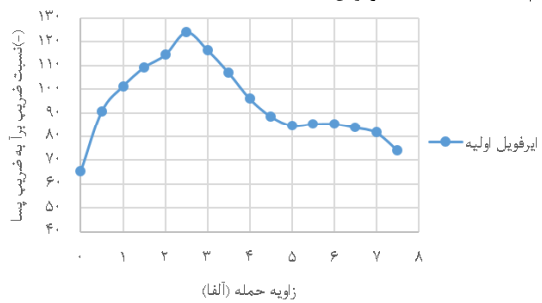
۴- پهپود هندسه ایرفویل در توربین پادی محور افقی

هدف از بهینه سازی هندسه ایرفویل در توربین باد محور افقی، افزایش مقادیر نسبت ضریب برآ به ضریب پسای به کار رفته در پره توربین بادی محور افقی می باشد. با بررسی ایرفویل E387 در زاویه حمله صفر تا هشت درجه و مکرر بیم نسبت ضریب برآ به ضریب پسای در عدد رینولدز 10^7 مشخص شد.



شکل ۳ ایفویا E387

همانطور که در شکل ۴ دیده می‌شود، بیشترین مقدار نسبت ضریب برآ به ضریب پسا مربوط به زاویه حمله $2/5$ درجه بوده و مقدار آن برابر با 124 می- باشد. لازم به ذکر است که بهینه سازی هندسه ایرفویل E387 به گونه‌ای انجام شده که خصامت ایرفویل ثابت بماند.



شکل ۴ تغییرات نسبت ضریب برآ به ضریب پسا پر حسب زاویه حمله

ضریب برآ برای ایرفویل مورد بررسی (شکل ۵) در زاویه حمله ۷/۵ درجه بیشترین مقدار خود را دارد و این مقدار برابر با ۱/۱۸ می باشد. در شکل ۶ تعقیبات ضریب پسا ایرفویل E387 نشان داده شده است. بیشترین مقدار ضریب پسا در بازه حمله مورد بررسی شده به زاویه حمله ۱۵ درجه بوده که مقدار پس از رسیدن این زاویه برابر با ۲۶٪ می باشد.

ایرفویل دیرتر دچار جدایش جریان و در نتیجه بروز استال در ایرفویل می-شوند. لذا عدد رینولز تا هنگامی که حالت جریان از آرام به آشفته تغییر کند، حائز اهمیت می‌باشد. در ایرفویل‌ها، با افزایش زاویه حمله از صفر درجه، مقدار ضریب برآ به طور بیوسته تا زمانی که زاویه حمله به حالت بحرانی رسیده و جدایش جریان رخ دهد، افزایش می‌یابد و در این حالت ایرفویل دچار استال خواهد شد [۱۳].

۳- مدل سازی و طراحی آبروودینامیکی ایرفویل

در این بخش به مدل سازی ایرفویل E387 با استفاده از معادلات بیزیر و طراحی آیرودینامیکی ایرفویل با استفاده از نرم افزار Q-Blade اشاره می‌شود.

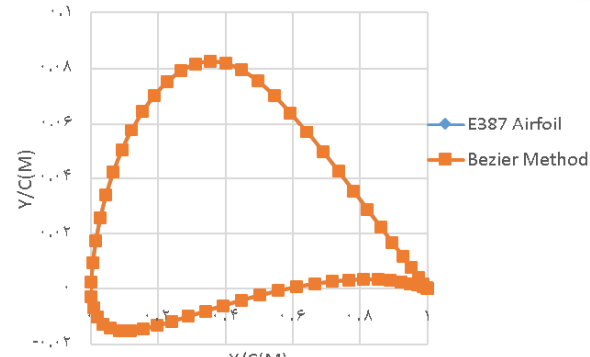
۳-۱- مدیریت سازمانی

برای مدل سازی ایرفویل از معادلات بیزیر استفاده شد که با داشتن نقاط ابتدایی، انتهایی و یک نقطه به عنوان نقطه کنترلی می‌توان ایرفویل مورد نظر را از پایه‌های درجه دوم مدل سازی نمود. در این حل برای رسیدن به بهترین نقطه کنترلی ذکر شده از روش کمترین مربعات استفاده شد که معادلات بیزیر به صورت فرمول ۱ بیان می‌گردد:

$$B(t) = (1-t)^{\gamma} P_+ + \gamma(1-t)tP_0 + t^{\gamma} P_- \quad (1)$$

که P_1 پارامتر بیزیر بوده که بین صفر تا یک قرار دارد و P_2 نقطه کنترلی و P_3 نقاط ابتدایی و انتهایی می‌باشد. در روش پانل مرتبه بالا، مدل سازی نیروی لیفت و ایرفویل با یک تکین انجام و جریان پتانسیلی بوده تا حجم محاسبات کاهش شود.

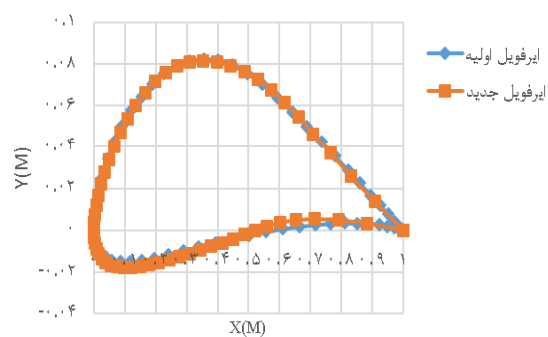
برای اطمینان از صحت مدل سازی بیزیز ایرفویل، نتایج آن را با ایرفویل E387 بدست آمده از نرم افزار Q-Blade مقایسه کرد (شکل ۲) که نتایج بدست آمده از مدل بیزیز ایرفویل برای مدل سازی شرایط قبل قبولی را دارد.



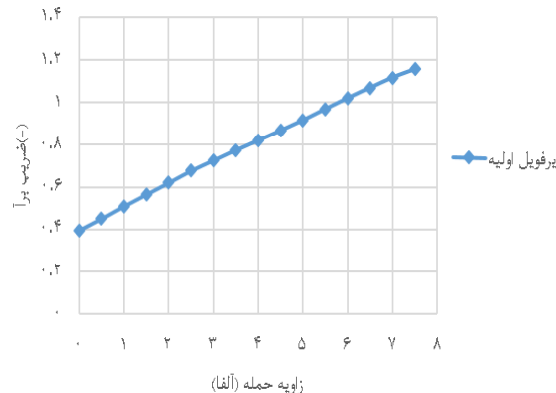
E387 1 2 3 4 5 6 7 8

O-blade آب و دست ایمپک با استفاده از نرم افزار

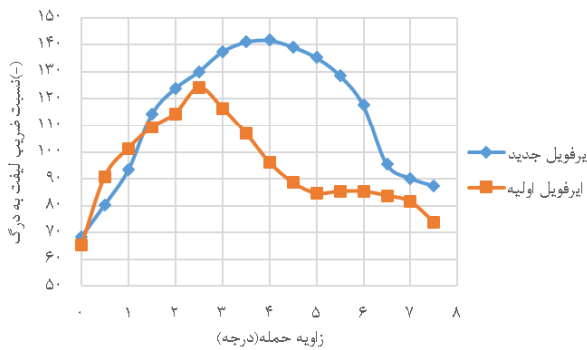
برای انجام روند شیبیه سازی و انتخاب ایرفویل از نرم افزار Q-blade v0.9 استفاده شد. نرم افزار ذکر شده نرم افزاری است که برای محاسبات توربین-های بادی استفاده می‌شود که با استفاده از سرعت می‌توان ایرفویل مناسب را طراحی و عملکرد قطعی آن را در زوایای ۳۶۰ درجه بررسی کرد و در طراحی روتورهای توربین بادی و شبیه‌سازی آن‌ها مورد استفاده قرار داد. این نرم افزار با استفاده از مدل‌های مومنتم و الگوریتم صحیح، شبیه سازی را انجام و پارامترهای مورد نیاز طراحی با مدل CMDMS تغییر می‌بذرید که از یک مدل مومنتم دو مرحله‌ای برای شبیه سازی آیرودینامیک توربین بادی محور عمودی، استفاده می‌کند. حیان، هوا به یک قسمت کل، و یک قسمت محلی،



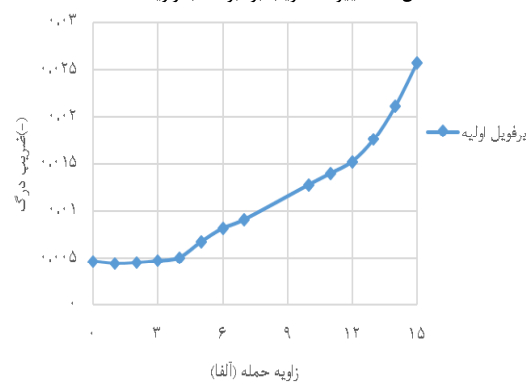
شکل ۸ مقایسه تغییرات هندسی در ایرفویل اولیه با ایرفویل جدید



شکل ۵ تغییرات ضریب برآ بر حسب زاویه حمله

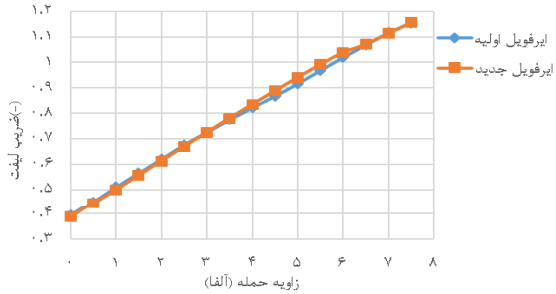


شکل ۹ مقایسه تغییرات نسبت ضریب برآ به ضریب پسا در ایرفویل اولیه با ایرفویل جدید با تغییرات زاویه حمله



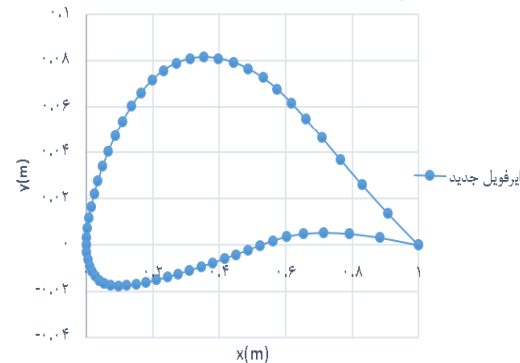
شکل ۶ تغییرات ضریب پسا بر حسب زاویه حمله

به طور کلی ضریب برآ در ایرفویل جدید برابر با ایرفویل اولیه می‌باشد (شکل ۱۰). حداقل مقدار ضریب برآ برای ایرفویل جدید برابر با $1/15$ می‌باشد که در زاویه حمله $7/5$ درجه رخ داده است. ضریب پسا در ایرفویل جدید، از زاویه حمله هفت تا 15 درجه، برابر با ضریب پسا در ایرفویل اولیه می‌باشد.



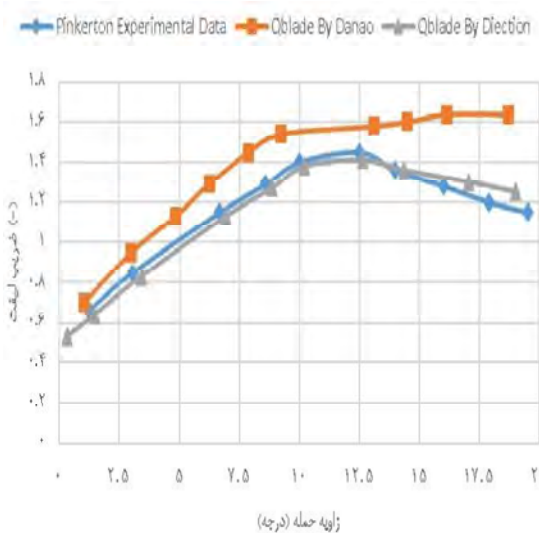
شکل ۱۰ مقایسه تغییرات ضریب برآ در ایرفویل اولیه با ایرفویل جدید با تغییرات زاویه حمله

با انجام تغییرات در هندسه ایرفویل E387 به منظور کاهش سرعت جریان هوا در نزدیکی سطح ایرفویل و افزایش فشار استاتیک در این ناحیه، هندسه جدیدی (شکل ۷) بدست آمد.

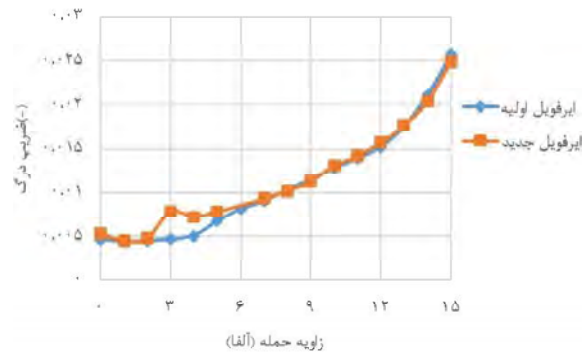


شکل ۷ ایرفویل جدید

در شکل ۸ هندسه ایرفویل پس از تغییر و همچنین ایرفویل اولیه به نمایش در آمده است. در ایرفویل جدید، بیشترین مقدار نسبت ضریب برآ به ضریب پسا مربوط به زاویه حمله 4 درجه بوده و مقدار آن برابر با 142 می‌باشد. مقدار نسبت ضریب برآ به ضریب پسا در ایرفویل جدید نسبت به ایرفویل اولیه به میزان 1421 با افزایش همراه بوده است (شکل ۹).



شکل ۱۲ اعتبارسنجی داده‌های Q-blade



شکل ۱۱ مقایسه تغییرات ضریب پسا در ایرفویل اولیه با ایرفویل جدید با تغییرات زاویه حمله

۵- بررسی صحت داده‌ها

ضریب نیروی برآ تعیین کننده مقدار نیروی برآ می‌باشد که به یک ایرفویل وارد می‌گردد. علاوه بر هندسه ایرفویل، زاویه حمله و عدد رینولدز جریان بر مقدار ضریب برآ، تأثیرگذار می‌باشند. به طور کلی جریان‌های آشفته بر روی ایرفویل دیگر دچار جدایش جریان و در نتیجه بروز استال در ایرفویل می‌شوند. لذا عدد رینولدز تا هنگامی که حالت جریان از آرام به آشفته تغییر کند، حائز اهمیت می‌باشد. در ایرفویل‌ها، با افزایش زاویه حمله از صفر درجه، مقدار ضریب برآ به طور پیوسته تا زمانی که زاویه حمله به حالت بحرانی رسیده و جدایش جریان رخ دهد، افزایش می‌یابد و در این حالت ایرفویل دچار استال خواهد شد.

برای صحت کار انجام شده در مرحله اول، نتایج به دست آمده را با داده‌های عملی بدست آمده توسط پینکرتون [۱۴] و تحلیل داناؤ [۱۵] برای ایرفویل NACA4412 در عدد رینولدز ۲۵۰۰۰ و زوایای صفر تا ۲۰ درجه مقایسه و اعتبارسنجی شد که در زمان افزایش زاویه حمله تا قبل از زاویه واماندگی، ضریب نیروی برآ به صورت خطی افزایش پیدا کرده و در روش حاضر مدل انتخاب شده دقیق‌تر نسبت به مدل داناؤ، نتایج را پیش‌بینی و با نزدیک شدن به مرحله واماندگی در زاویه حمله بالا، به خاطر جدایی جریان، نتایج دارای اختلاف در نزدیکی‌های زاویه واماندگی می‌باشد و مقدار ماکریزم ضریب برآی پیش‌بینی شده در تحقیق حاضر خیلی نزدیک‌تر نسبت به مدل حل شده داناؤ برای مدل تجربی می‌باشد و خطای نتایج Q-Blade برابر ۵,۹ درصد می‌باشد. که در شکل ۱۲ نشان داده شده است.

۷- فهرست علامت

توان	p
مساحت جاروب شده	A
سرعت	v
چگالی	ρ
ضریب برآ	C_L
ضریب پسا	C_D
پارامتر بیزیر	t
نیروی برآ	F_L
نیروی پسا	F_D
نقشه ابتدایی	P.
نقشه انتهایی	P_1

۸- مراجع

- [1] R. Firdaus, T. Kiwata, T. kano, K. Nagao, Numerical and experimental studies of a small vertical axis wind turbine with variable – pitch straight blades, *Journal of Fluid Science and Technology*, 10(1), JFST0001- JFST0001, 2015.
- [2] M. zamani, S. Nazari, S. A. Moshizi, M. J. Maghrebi, Three dimensional Simulation of J-shaped Darrieus vertical Axis wind turbine, *Renewable Energy*, 116, Part1, 1243-1255, 2016.



- [3] K. Hoe Wonga, W. Tong Chonga, N. Liana Sukiman, S. Chew poh, Y. Shiah, C. Tsan Wang, Performance enhancements on vertical axis wind turbines using flow augmentation systems: A review, *Renewable and Sustainable Energy Reviews*, (73), 904- 921, 2017.
- [4] D.E. Berg, Structural Design of the Sandia 34-Meter vertical-axis Wind Turbine, *Report SAND84-1287*, 1985.
- [5] P. Fuglsang & K. Thomsen, "Cost Optimization of Wind Turbines for Large Scale Offshore Wind Farms", Tech. Rep. Risø-R-1000(EN), *Risø National Laboratory*, Roskilde, 1998.
- [6] E. Benini & A. Toffolo, "Optimal Design of Horizontal-Axis Wind Turbines Using Blade Element Theory and Evolutionary Computation", *Journal of Solar Energy Engineering*, vol. 124, pp. 357–363, 2002.
- [7] Y. Hu & S. Rao, "Robust Design of Horizontal Axis Wind Turbines Using Taguchi Method", *Journal of Mechanical Design*, vol. 133, 011001, 2011.
- [8] H. Sun & S. Lee, Response surface approach to aerodynamic optimization design of helicopter rotor blade, *International Journal for Numerical Methods in Engineering*, vol. 64, pp. 125–142, 2005.
- [9] J. Li, L. R. Li, Y. Gao & J. Huang, Aerodynamic optimization of wind turbine airfoils using response surface techniques, *Proceedings of the IMECE, Part A: Journal of Power and Energy*, vol. 224, 2010.
- [10] F. Grasso, Usage of Numerical Optimization in Wind Turbine Airfoil Design", *AIAA*, no. 2010-4404, 2010.
- [11] A. Ribeiro, A. Awruch, H. Gomes, "An airfoil optimization technique for wind turbines", *Applied Mathematical Modeling*, 36, 4898-4907, 2012.
- [12] M. Djavaherian, A. Latifi Bidarouni, "An optimization of wind turbine airfoil possessing good stall characteristics by Genetic Algorithm utilizing CFD & Neural Network", *International journal of renewable energy research*, Vol3, No4, October, 2013.
- [13] O. Martin, L. Hansel, *Aerodynamic of wind turbines* 2nd Ed, 2008
- [14] RM. Pinkerton, The Variation with Reynolds Number of Pressure Distribution over an Airfoil Section, *Technical Report No. 613*, NASA, Cranfield, UK, 1938.
- [15] L. Danao, A. Abuan, R. Howel, Design Analysis of a Horizontal Axis Tidal Turbine, 2016.

